

# СВЕРХПРОВОДИМОСТЬ В СИСТЕМЕ $p$ -ЭЛЕКТРОНОВ

*P. O. Зайцев\**

Московский физико-технический институт  
141700, Долгопрудный, Московская обл., Россия

Поступила в редакцию 6 марта 2012 г.

Изучается проблема сверхпроводимости в электронной системе с частично заполненной  $sp$ -оболочкой. Определены амплитуды рассеяния и получены уравнения сверхпроводимости на основе представления о том, что энергия Хаббарда является наибольшим энергетическим параметром.

## 1. ВВЕДЕНИЕ

Задача изучения возможности возникновения сверхпроводимости в соединениях с частично заполненной  $p$ -оболочкой непосредственно связана с наличием сильного кулоновского взаимодействия электронов, принадлежащих одному и тому же атому. Непосредственные оценки этого взаимодействия, проделанные с помощью водородоподобных волновых функций, приводят к следующим соотношениям:

$$U = \kappa \frac{e^2}{r_B} \frac{Z^*}{n}, \quad r_B = \frac{\hbar^2}{me^2}, \quad (1)$$

где  $r_B$  — радиус Бора,  $n$  — главное квантовое число,  $Z^*$  — эффективный заряд ядра,  $\kappa$  — численный множитель порядка единицы.

В случае  $1s$ -электронов  $\kappa = 5/8$ ,  $Z^* = Z - 5/16$ , так что  $U_s \approx 17Z^*$  [1].

Для  $3d$ -электронов  $n = 3$ , однако для второй половины ряда переходных  $3d$ -металлов  $Z^* > 5$ , что объясняет возникновение высокотемпературной сверхпроводимости соединений железа, никеля и меди, для которых  $U_d > 10$ .

В случае  $2p$ -электронов  $n = 2$ . Однако уже для углеродных соединений, где  $Z = 2$ , были получены следующие значения: для бензола  $U_p = 16.9$  [2], для полиацилена  $U_p = 10$  [3], для графита и графена  $U_p = 17.5$  и  $U_p = 17.0$  [4]. Учет экранирования приводит к уменьшению заряда почти вдвое: для графита и графена соответственно  $U_p^* = 8.0\text{--}8.1$  и  $U_p^* = 9.3$  [4].

Можно предположить, что для соединений азота и кислорода, для которых  $Z > 2$ , значение  $U_p^* > 10$ ,

что заметно превышает зонную энергию, определяемую перескоком электронов между соседними атомами [5].

Отсюда следует, что при изучении различных взаимодействий и, в частности, для нахождения амплитуды рассеяния возбуждений необходимо прежде всего учесть сильное внутриатомное взаимодействие уже в нулевом приближении. Для достижения этой цели используется метод  $X$ -операторов Хаббарда, а само внутриатомное взаимодействие считается наибольшим энергетическим параметром и ниже считается равным бесконечности.

В дальнейшем удается определить амплитуду рассеяния любой пары возбуждений с противоположным знаком изменения проекции спина. Рассмотрены два наиболее интересных объекта: трехмерная  $sp^3$ -система, где перекрываются электронные  $s$ -,  $p_{x,y,z}$ -оболочки и двумерная  $sp^2$ -система, где перекрываются электронные  $s$ -,  $p_{x,y}$ -оболочки. Для этих систем вычисляется амплитуда рассеяния, которая меняет знак внутри каждого целочисленного интервала электронной концентрации. Получены общие уравнения сверхпроводимости (обобщенные уравнения Горькова), а также уравнения для нахождения температуры сверхпроводящего перехода. Частные случаи  $s$ -,  $\pi$ - и  $\sigma$ -электронов, когда заполняются только  $s$ -,  $p_z$ - и  $(p_x, p_y)$ -оболочки, были рассмотрены в работах автора [6–8].

## 2. ПЕРЕХОД К АТОМНОМУ ПРЕДСТАВЛЕНИЮ

Гамильтониан системы записывается через операторы рождения и уничтожения и в простейшем

\*E-mail: Zaitsev\_rogdai@mail.ru

случае переходов к ближайшим соседям имеет следующий вид:

$$\begin{aligned} \hat{H} = & \sum_{i,k,\mathbf{r}_1,\mathbf{r}_2,\sigma} \hat{a}_{i,\sigma}^\dagger(\mathbf{r}_1) \hat{b}_{k,\sigma}(\mathbf{r}_2) t_{i,k}^{ab}(\mathbf{r}_1 - \mathbf{r}_2) + \\ & + \sum_{i,k,\mathbf{r}_1,\mathbf{r}_2,\sigma} \hat{b}_{i,\sigma}^\dagger(\mathbf{r}_1) \hat{a}_{k,\sigma}(\mathbf{r}_2) t_{i,k}^{ba}(\mathbf{r}_1 - \mathbf{r}_2) - \\ & - \mu \sum_{k,\mathbf{r},\sigma} \hat{a}_{k,\sigma}^\dagger(\mathbf{r}) \hat{a}_{k,\sigma}(\mathbf{r}) - \mu \sum_{k,\mathbf{r},\sigma} \hat{b}_{k,\sigma}^\dagger(\mathbf{r}) \hat{b}_{k,\sigma}(\mathbf{r}). \quad (2) \end{aligned}$$

В трехмерном случае  $q$ -электронов индексы пробегают четыре значения:  $s, x, y, z$ . В двумерном случае индексы пробегают три значения:  $s, x, y$ . Индексы « $a$ », « $b$ » соответствуют различным подрешеткам.

Во всей  $2s2p$ -группе элементов и одноорбитальные, и разноорбитальные кулоновские матричные элементы имеют порядок нескольких электрон-вольт и велики по сравнению с интегралами перескока к ближайшим соседям. По этой причине соответствующие значения кулоновских матричных элементов считаются бесконечными.

После перехода к атомному представлению операторы рождения и уничтожения выражаются в виде линейной комбинации  $X$ -операторов Хаббарда:

$$\hat{a}_{k,\sigma}^\dagger(\mathbf{r}) = \sum_\alpha g_{\alpha}^{k,\sigma} \hat{X}_{\mathbf{r}}^\alpha, \quad \hat{b}_{p,\sigma}^\dagger(\mathbf{r}) = \sum_\gamma g_{\gamma}^{p,\sigma} \hat{Y}_{\mathbf{r}}^\gamma. \quad (3a)$$

Для низших высокоспиновых состояний коэффициенты  $g_{\alpha}^{k,\sigma}$  выражаются через произведения спиновых и орбитальных коэффициентов векторного сложения, соответствующие отделению одной частицы (см. ниже). Операторы  $X_{\mathbf{r}}^\alpha$  — это  $X$ -операторы ферми-типа, удовлетворяющие нефермиондостаточным перестановочным соотношениям:

$$\left\{ \hat{X}_{\mathbf{r}}^{nm}, \hat{X}_{\mathbf{r}'}^{kp} \right\} = \delta_{\mathbf{r},\mathbf{r}'} \left( \delta_{mk} \hat{X}^{np} + \delta_{pn} \hat{X}^{km} \right). \quad (3b)$$

Уравнения для нахождения средних чисел заполнения  $n_m$  находим из определения температурной функции Грина для каждой пары сопряженных  $X$ -операторов:

$$\begin{aligned} D^{\alpha,\beta}(\mathbf{r}, \tau; \mathbf{r}', \tau') = & -\Theta(\tau - \tau') \langle X_{\mathbf{r}}^\alpha(\tau) X_{\mathbf{r}'}^\beta(\tau') \rangle + \\ & + \Theta(\tau' - \tau) \langle X_{\mathbf{r}'}^\beta(\tau') X_{\mathbf{r}}^\alpha(\tau) \rangle. \quad (4) \end{aligned}$$

Для вычисления одиночичной функции Грина используем простейшее однопетлевое приближение самосогласованного поля. В этом приближении компоненты Фурье одиночичной функции Грина  $D_\omega^{\alpha,\beta}(\mathbf{p})$  только множителями  $f_\beta$  отличаются от так называемой виртуальной функции Грина  $G_\omega^{\alpha,\beta}(\mathbf{p})$ ,

которая, в свою очередь, удовлетворяет уравнению типа Дайсона:

$$D_\omega^{\alpha,\beta}(\mathbf{p}) = G_\omega^{\alpha,\beta}(\mathbf{p}) f_\beta, \quad (5)$$

$$\left\{ \hat{G}_\omega^{-1}(\mathbf{p}) \right\}_\beta^\alpha = \{i\omega - \epsilon_m + \epsilon_s\} \delta(\alpha + \beta) - \Sigma_\omega^{\alpha,\beta}(\mathbf{p}). \quad (6)$$

Здесь  $\epsilon_m - \epsilon_s$  — энергия перехода, отвечающая номеру перехода  $\alpha$ ;  $\omega = T(2n + 1)\pi$ .

При заданных номерах одиночичного перехода  $\beta(m, s)$  каждый концевой множитель  $f_\beta$  равен сумме средних чисел заполнения начального и конечного состояния. В нашем приближении собствено-энергетическая часть есть сумма произведений концевого множителя на обобщенную матрицу перескоков и однопетлевой поправки:

$$\begin{aligned} f_{\alpha(s,m)} = & n_s + n_m, \quad \Sigma^{\alpha,\beta}(\mathbf{p}) = f_\alpha t_\beta^\alpha(\mathbf{p}) + \Sigma^{\alpha,\beta}, \\ t_\beta^\alpha(\mathbf{p}) = & g_\alpha^{k,\sigma} t_s^k(\mathbf{p}) g_\beta^{s,\sigma}. \end{aligned} \quad (7)$$

### 3. АМПЛИТУДА РАССЕЯНИЯ

Амплитуды двухчастичного рассеяния  $\Gamma_{\alpha,\beta;\lambda,\nu}^0(\mathbf{p})$  определяются как коэффициенты при произведениях операторов  $\hat{X}_\lambda \hat{X}_\nu$ , полученных в результате вычисления двойных коммутаторов  $\left\{ \hat{X}_\alpha, [\hat{X}_\beta, \hat{H}] \right\}$ , где  $\hat{H}$  — оператор Гамильтона (1), выраженный через  $X$ -операторы.

Покажем, что при заданном значении проекции спина и проекции момента задача сводится к нахождению четырех независимых вершин.

Зафиксируем индексы одиночичного перехода  $\alpha(n, m)$  таким образом, что  $n$ -состояние есть  $(N - 1)$ -частичное состояние с заданной проекцией полного спина  $S^z = 1/2$ , а  $m$ -состояние есть  $N$ -частичное состояние с заданной проекцией полного спина  $S^z$ . Если рассеяние происходит на совокупности виртуальных переходов со спином «вверх», то следует фиксировать переход между  $(N - 1)$ -частичным  $d$ -состоянием и  $N$ -частичным  $c$ -состоянием, а затем вычислить антисимметризатор:

$$\left\{ \hat{X}^{n,m}, \hat{X}^{c,d} \right\} = \delta_{m,c} \hat{X}^{n,d} + \delta_{d,n} \hat{X}^{c,m}. \quad (8)$$

Для того чтобы вычислить амплитуду рассеяния одиночичных возбуждений с противоположным знаком изменения проекции спина, необходимо задать переход между  $(N - 1)$ -частичным  $a$ -состоянием и  $N$ -частичным  $b$ -состоянием, принадлежащими к

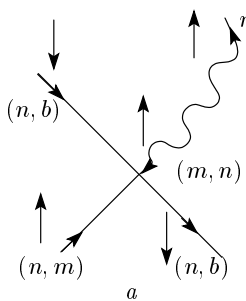


Рис. 1. Графическое изображение вершинной части кинематического взаимодействия при заданной проекции  $n$ -состояния

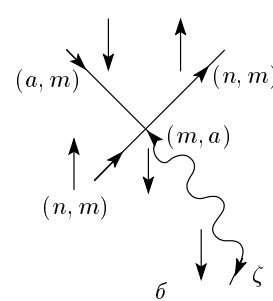
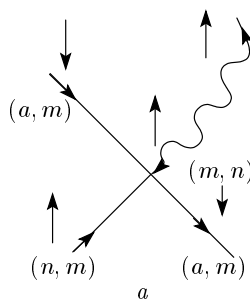
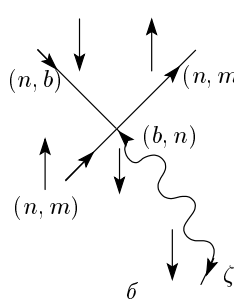


Рис. 2. Графическое изображение вершинной части кинематического взаимодействия при заданной проекции  $m$ -состояния

группе одночастичных переходов, с группой «перевернутых» спинов, а затем вычислить коммутатор<sup>1)</sup>:

$$\begin{aligned} & \left[ \hat{X}^{a,b}, \left( \delta_{m,c} \hat{X}^{n,d} + \delta_{d,n} \hat{X}^{c,m} \right) \right] = \\ & = \delta_{m,c} \left( \delta_{b,n} \hat{X}^{a,d} - \delta_{a,d} \hat{X}^{n,b} \right) + \\ & + \delta_{d,n} \left( \delta_{b,c} \hat{X}^{a,m} - \delta_{a,m} \hat{X}^{c,b} \right). \quad (9) \end{aligned}$$

В нашем случае состояния  $(a, n, d)$  и  $(b, m, c)$  принадлежат состояниям с различным числом электронов. Поэтому первое и четвертое слагаемые в правой части (9) должны быть отброшены, и это соотношение упрощается:

$$\begin{aligned} & \left[ \hat{X}^{a,b}, \left( \delta_{m,c} \hat{X}^{n,d} + \delta_{d,n} \hat{X}^{c,m} \right) \right] = \\ & = -\delta_{m,c} \delta_{a,d} \hat{X}^{n,b} + \delta_{d,n} \delta_{b,c} \hat{X}^{a,m}. \quad (10) \end{aligned}$$

Мы ограничиваемся рассмотрением переходов между высокоспиновыми состояниями, когда каждое состояние определяется числом частиц, проекциями полного спина и полного момента. Поскольку, с другой стороны, все одночастичные возбуждения соответствуют переходам с заданным изменением проекции спина и проекции момента, в первом слагаемом правой части (10) следует считать, что  $a = n$ , а во втором слагаемом —  $b = m$ . В результате мы получим четырехвершинные части, определяющие кинематическое взаимодействие для двух диаграмм, которые представлены на рис. 1a, 2a.

Если же мы рассматриваем рассеяние на совокупности виртуальных переходов со спином «вниз»,

<sup>1)</sup> Появление коммутатора вместо антакоммутатора связано с тем, что операторы  $\hat{X}^{n,d}$  и  $\hat{X}^{c,m}$  принадлежат к операторам бозе-типа, каждый из которых отвечает переходам без изменения числа частиц.

то следует фиксировать переход между  $N$ -частичным  $b$ -состоянием и  $(N-1)$ -частичным  $a$ -состоянием, а затем вычислить антакоммутатор:

$$\left\{ \hat{X}^{n,m}, \hat{X}^{b,a} \right\} = \delta_{m,b} \hat{X}^{n,a} + \delta_{a,n} \hat{X}^{b,m}. \quad (11)$$

Для того чтобы вычислить амплитуду рассеяния одночастичных возбуждений с противоположным знаком изменения проекции спина, необходимо задать переход между  $(N-1)$ -частичным  $c$ -состоянием и  $N$ -частичным  $d$ -состоянием, принадлежащими к той же группе одночастичных переходов со спином «вниз», а затем вычислить коммутатор:

$$\begin{aligned} & \left[ \hat{X}^{c,d}, \left( \delta_{m,b} \hat{X}^{n,a} + \delta_{a,n} \hat{X}^{b,m} \right) \right] = \\ & = \delta_{m,b} \left( \delta_{d,n} \hat{X}^{c,a} - \delta_{a,c} \hat{X}^{n,d} \right) + \\ & + \delta_{n,a} \left( \delta_{b,d} \hat{X}^{c,m} - \delta_{m,c} \hat{X}^{b,d} \right). \quad (12) \end{aligned}$$

Рассуждения, аналогичные предыдущим, показывают, что первое и четвертое слагаемые в правой части (12) должны быть отброшены, и вместо (12) имеем:

$$\begin{aligned} & \left[ \hat{X}^{c,d}, \left( \delta_{m,b} \hat{X}^{n,a} + \delta_{a,n} \hat{X}^{b,m} \right) \right] = \\ & = -\delta_{m,b} \delta_{a,c} \hat{X}^{n,d} + \delta_{n,a} \delta_{b,d} \hat{X}^{c,m}. \quad (13) \end{aligned}$$

Кроме того, для одночастичных переходов между высокоспиновыми состояниями, следует считать, что  $b = d = m$ , а во втором слагаемом:  $a = c = n$ . В результате мы получим четырехвершинные части, определяющие кинематическое взаимодействие для двух диаграмм, которые представлены на рис. 1b, 2b.

#### 4. АНОМАЛЬНАЯ ФУНКЦИЯ ГРИНА И УРАВНЕНИЯ СВЕРХПРОВОДИМОСТИ

Для написания уравнений сверхпроводимости запишем обратную функцию Грина с учетом наличия аномальных собственно-энергетических функций  $\hat{\Sigma}$  и  $\check{\Sigma}$  [9],

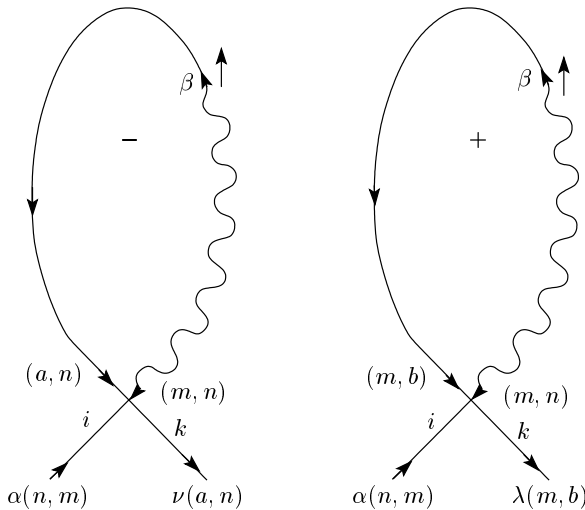
$$\begin{aligned} \left(\hat{G}_\omega(\mathbf{p})\right)^{-1} &= \\ &= \begin{pmatrix} \left(\hat{G}_\omega^0(\mathbf{p})\right)^{-1} & -\hat{\Sigma}^{an} \\ -\check{\Sigma}^{(an)} & -\left(\hat{G}_{-\omega}^0(\mathbf{p})\right)^{-1} \end{pmatrix}. \quad (14) \end{aligned}$$

Здесь  $G^{(0)}$  — нулевая функция Грина, вычисленная в нуль-петлевом приближении:

$$\left(\left(\hat{G}_\omega^0(\mathbf{p})\right)^{-1}\right)_k^i = (i\omega_n + \mu)\delta_{ik} - fb_i b_k t_p, \quad (15)$$

где  $\omega_n = \pi T(2n+1)$ ,  $\mu$  — химический потенциал,  $f$  — концевой множитель, определенный для каждого цепочисленного интервала изменения концентраций,  $b_k$  — коэффициенты разложения операторов рождения и уничтожения по  $X$ -операторам Хаббарда.

Вычисление аномальных собственно-энергетических частей проводится в соответствии с графиками на рис. 3, каждый из которых содержит одну из вершин кинематического взаимодействия с множителем, пропорциональным произведению компоненты Фурье от интеграла перескока и аномальной гриновской функции. Соответствующие



**Рис. 3.** Графическое изображение аномальной собственно-энергетической части кинематического взаимодействия при заданной проекции  $n$ -состояния

компоненты аномальной функции Грина определяются через обратную функцию Грина с помощью общего уравнения (14).

Для написания уравнений Горькова необходимо рассмотреть выражение для обратной функции Грина (14) и записать самосогласованные выражения для однопетлевых аномальных собственно-энергетических частей, представленных на рис. 3.

Для заданных значений концевых кристаллических индексов и заданной проекции спина и индексов перехода можно написать:

$$\begin{aligned} \Sigma_{\alpha,\nu}^{an,i,k} &= T \sum_{\omega} \sum_{\mathbf{p},\mathbf{s},\beta} S_{\alpha,\nu}^{(i,k)} b_{\alpha}^{i,\sigma} t_s^i(\mathbf{p}) b_{\beta}^{s,\sigma} G_{\omega}^{s,k;\beta,\nu}(\mathbf{p}) = \\ &= S_{\alpha,\nu}^{(i,k)} b_{\alpha}^{i,\sigma} b_{\nu}^{k,\sigma} \Phi_{ik}. \quad (16) \end{aligned}$$

Отличные от нуля коэффициенты матриц  $S_{\alpha,\nu}^{(i,k)}$  определяются с помощью следующих правил, которые формулируются при заданных кристаллических индексах  $(i, k)$  [10].

Отмеченные знаком «минус» значения матричных элементов возникают в случае, когда совпадают индексы  $(N-1)$ -частичных состояний, относящихся к номеру строки и к номеру столбца. Отмеченные знаком «плюс» значения матричных элементов возникают в случае, когда совпадают индексы  $N$ -частичных состояний. В случае отсутствия совпадений соответствующая вершинная часть обращается в нуль.

Эти правила являются непосредственным следствием соотношений (10) и (13) и будут использованы для каждого целочисленного интервала электронной концентрации.

Если предположить, что аномальная функция Грина  $G_{\omega}^{s,k;\beta,\nu}(\mathbf{p})$  зависит от индекса  $\nu$  через множитель  $b_{\nu}^{k,\sigma}$ , то аномальная собственно-энергетическая часть может быть представлена в симметричной форме:

$$\Sigma_{\alpha,\nu}^{an,i,k} = \Delta_{i,k} b_{\alpha}^{i,\sigma} b_{\nu}^{k,\sigma}. \quad (17)$$

Такая запись позволяет предположить, что дело сводится к написанию уравнения для тензорного параметра порядка  $\Phi_{ik}$ :

$$\begin{aligned} \Delta_{ik} &= \\ &= \lambda_{i,k} T \sum_{\omega} \sum_{\mathbf{p},\mathbf{s},\beta} t_s^i(\mathbf{p}) b_{\beta}^{s,\sigma} G_{\omega}^{s,k;\beta,\nu}(\mathbf{p}) (b_{\nu}^{k,\sigma})^{-1}, \quad (18) \end{aligned}$$

где

$$\lambda_{i,k} = \frac{\sum_{\alpha,\nu} S_{\alpha,\nu}^{(i,k)} (b_{\alpha}^{i,\sigma})^2 (b_{\nu}^{k,\sigma})^2}{\sum_{\nu} (b_{\nu}^{k,\sigma})^2}. \quad (19)$$

Таким образом, удается вычислить константы точечного взаимодействия, которые определяют температуру сверхпроводящего перехода. Записанные в рамках полюсного приближения эти уравнения имеют вид

$$\bar{\Gamma}_{i=k} = -\lambda_{i=k} \frac{\mu}{f_c} \sum_{\mathbf{p}, n, s} e_\lambda^{(i)}(-\mathbf{p}) e_\lambda^{(i)}(\mathbf{p}) e_\lambda^{(n)}(\mathbf{p}) \times \\ \times e_\lambda^{(s)}(-\mathbf{p}) \frac{1}{\xi_\lambda(\mathbf{p})} \operatorname{th}\left(\frac{\xi_\lambda(\mathbf{p})}{2T_c}\right) \bar{\Gamma}_{n,s}, \quad (20a)$$

$$\bar{\Gamma}_{i \neq k} = -\frac{\mu \lambda_{i \neq k}}{f_c} \sum_{\mathbf{p}, n, s} \left[ e_\lambda^{(i)}(-\mathbf{p}) e_\lambda^{(k)}(\mathbf{p}) + \right. \\ \left. + e_\lambda^{(k)}(-\mathbf{p}) e_\lambda^{(i)}(\mathbf{p}) \right] e_\lambda^{(n)}(\mathbf{p}) e_\lambda^{(s)}(-\mathbf{p}) \frac{1}{\xi_\lambda(\mathbf{p})} \times \\ \times \operatorname{th}\left(\frac{\xi_\lambda(\mathbf{p})}{2T_c}\right) \bar{\Gamma}_{n,s}. \quad (20b)$$

Здесь  $e_\lambda^{(i)}(\mathbf{p})$  — единичные векторы поляризации, соответствующие собственному значению  $\epsilon_\lambda(\mathbf{p})$ , которые определяют энергию возбуждений  $\xi_\lambda(\mathbf{p}) = fb^2 \epsilon_\lambda(\mathbf{p}) - \mu$ .

Далее будет рассмотрен способ последовательного вычисления безразмерных констант взаимодействия  $\lambda_{i,k}$ , относящихся к каждому заданному интервалу изменения концентрации электронов<sup>2)</sup>.

## 5. СВЕРХПРОВОДИМОСТЬ ВЫСОКОСПИНОВЫХ СОСТОЯНИЙ (ТРЕХМЕРНЫЙ СЛУЧАЙ)

В этом разделе рассмотрим соединения, у которых перекрываются недозаполненные  $2s$ - и  $2p_{x,y,z}$ -оболочки, что соответствует так называемой  $q$ -валентности [11].

### 5.1. Сверхпроводимость в области $1 < n_q < 2$

В этой области система резонирует между восемью одночастичными состояниями со спином  $1/2$  и шестью низшими состояниями со спином единицы. В соответствии с этим, каждый оператор рождения или уничтожения представляется в виде линейной комбинации двух  $X$ -операторов Хаббарда:

$$\hat{a}_{n\sigma}^\dagger = \sum_{m \neq n} b_m \hat{X}^{m\sigma||II(n(\sigma), m(\sigma))} + \\ + \sum_{m \neq n} \tilde{b}_m \hat{X}^{m-\sigma||IIT(n, m)}. \quad (21)$$

Здесь  $m\sigma$  — номера одночастичных состояний со спином  $1/2$  с проекцией  $\sigma/2$ ,  $II(n(\sigma), m(\sigma))$  — двухчастичные состояния со спином  $1$  и с проекцией  $\sigma$ ,  $IIT(n, m)$  — двухчастичные состояния со спином  $1$  и с нулевой проекцией, коэффициенты  $|b_m| = 1$ ,  $|\tilde{b}_m| = 1/\sqrt{2}$ .

Для построения аномальной собственно-энергетической части каждому переходу необходимо поставить в соответствие обратный переход со всеми измененными знаками проекций спинов. Принцип построения матрицы аномальной собственно-энергетической части определяется знаками отличных от нуля вершинных частей, изображенных на рис. 2а.

Ниже сформулированы общие правила вычисления матричных элементов.

Рассмотрим, например, матрицу собственно-энергетической части  $\langle \hat{a}_{1\uparrow} \hat{a}_{1\downarrow} \rangle$ , диагональную по кристаллическим индексам:

$1 \uparrow 1 \downarrow -\rangle$	$(1-, 2-   2-)$	$(T_{1,2}   2+)$	$(1-, 3-   3-)$	$(T_{1,3}   3+)$	$(1-, 4-   4-)$	$(T_{1,4}   4+)$
$(2+   1+, 2+)$	0	—	0	0	0	0
$(2-   T_{1,2})$	—	+	0	0	0	0
$= (3+   1+, 3+)$	0	0	0	—	0	0
$(3-   T_{1,3})$	0	0	—	+	0	0
$(4+   1+, 4+)$	0	0	0	0	0	—
$(4-   T_{1,4})$	0	0	0	0	—	+

Здесь выписаны матричные элементы, возникающие от аномальных средних  $\langle \hat{a}_{1\uparrow} \hat{a}_{1\downarrow} \rangle$ . Эта матрица имеет блочный вид:

<sup>2)</sup> При этом интервал электронной концентрации от нуля до единицы не рассматривается, как не представляющий принципиального интереса.

$$S^{1,1}(\alpha, \beta) = \begin{array}{c|ccc} 1\uparrow 1\downarrow - & ((1,2)|2) & ((1,3)|3) & ((1,4)|4) \\ \hline (2|(1,2)) & \hat{Q}_2 & 0 & 0 \\ (3|(1,3)) & 0 & \hat{Q}_3 & 0 \\ (4|(1,4)) & 0 & 0 & \hat{Q}_4 \end{array}. \quad (22a)$$

Три матрицы  $\hat{Q}_n$  не отличаются друг от друга,  $\hat{Q}_n = \hat{W}_2$ , где

$$\hat{Q}_n = \begin{array}{c|cc} 1\uparrow 1\downarrow - & (1-, n-|n-) & (T_{1,n}|n+) \\ \hline (n+|1+, n+) & 0 & - \\ (n-|T_{1,n}) & - & + \end{array}, \quad n = 2, 3, 4. \quad (22b)$$

Эти правила нахождения знаков есть непосредственное следствие определения вершинной части согласно общим соотношениям (12) и (13).

$$\lambda_{1,1} = \frac{1}{b^2} \sum_{\alpha, \beta} b_{\alpha}^2 S_{\alpha, \beta}^{(1,1)} b_{\beta}^2 = -\frac{1}{2}, \quad b^2 = \sum_{\alpha} b_{\alpha}^2 = \frac{3}{2}, \quad (23)$$

Остальные четыре матрицы  $\langle \hat{a}_{k\uparrow} \hat{a}_{n\downarrow} \rangle$  при  $k = n = s, x, y, z$ , диагональные по нижним кристаллическим индексам, имеют тот же вид (22a) и (22b).

где коэффициенты разложения  $b_{2k+1}^2 = 1$  и  $b_{2k}^2 = 1/2$ .

Безразмерные диагональные константы взаимодействия находим с помощью следующего способа усреднения (см. определение (19)):

Точно таким же способом могут быть построены вершинные части, соответствующие аномальным средним, которые недиагональны по кристаллическим индексам.

Ниже выписаны матричные элементы, отвечающие матрицам  $\langle \hat{a}_{1\uparrow} \hat{a}_{2\downarrow} \rangle$ , а также  $\langle \hat{a}_{2\uparrow} \hat{a}_{1\downarrow} \rangle$ :

$$S_{\alpha, \beta}^{(1,2)} = \begin{array}{c|ccccccc} 1\uparrow 2\downarrow - & (1-, 2-|1-) & (T_{1,2}|1+) & (2-, 3-|3-) & (T_{2,3}|3+) & (2-, 4-|4-) & (T_{2,4}|4+) \\ \hline (2+|1+, 2+) & 0 & 0 & 0 & 0 & 0 & 0 \\ (2-|T_{1,2}) & 0 & + & 0 & 0 & 0 & 0 \\ = (3+|1+, 3+) & 0 & 0 & 0 & - & 0 & 0 \\ (3-|T_{1,3}) & 0 & 0 & - & 0 & 0 & 0 \\ (4+|1+, 4+) & 0 & 0 & 0 & 0 & 0 & - \\ (4-|T_{1,4}) & 0 & 0 & 0 & 0 & - & 0 \end{array}. \quad (24)$$

Здесь выписаны матричные элементы, возникающие от аномальных средних  $\langle \hat{a}_{1\uparrow} \hat{a}_{2\downarrow} \rangle$ .

Матрица  $S_{\alpha, \beta}^{(1,2)}$ , записанная только через номера одночастичных состояний, имеет блочный вид:

$$S_{\alpha, \beta}^{(1,2)} = \begin{array}{c|ccc} 1\uparrow 2\downarrow - & ((1,2)|1) & ((2,3)|3) & ((2,4)|4) \\ \hline (2|(1,2)) & \hat{P}_2 & 0 & 0 \\ (3|(1,3)) & 0 & \hat{R}_3 & 0 \\ (4|(1,4)) & 0 & 0 & \hat{R}_4 \end{array}, \quad (24a)$$

где

$$\hat{P}_2 = \begin{array}{c|cc} 1\uparrow 2\downarrow - & (2-, 1-|1-) & (T_{2,1}|1+) \\ \hline (2+|1+, 2+) & 0 & 0 \\ (2-|T_{1,2}) & 0 & + \end{array}, \quad (24b)$$

$$\hat{R}_3 = \hat{R}_4 = \begin{array}{c|cc} 1\uparrow 2\downarrow - & (2-, n-|n-) & (T_{2,n}|n+) \\ \hline (n+|1+, n+) & 0 & - \\ (n-|T_{1,n}) & - & 0 \end{array}, \quad n = 3, 4. \quad (24c)$$

Используя тот же метод, можно построить матрицу  $\hat{S}^{2,1}$ :

$$\begin{aligned} \hat{S}_{\alpha,\beta}^{2,1} = & \begin{array}{c|ccccccc} 2 \uparrow & 1 \downarrow - \rangle & (1-, 2- | 2-) & (T_{1,2} | 2+) & (1-, 3- | 3-) & (T_{1,3} | 3+) & (1-, 4- | 4-) & (T_{1,4} | 4+) \\ \hline (1+ | 2+, 1+) & 0 & 0 & 0 & 0 & 0 & 0 & 0 \\ (1- | T_{1,2}) & 0 & + & 0 & 0 & 0 & 0 & 0 \\ = (3+ | 2+, 3+) & 0 & 0 & 0 & - & 0 & 0 & . \\ (3- | T_{2,3}) & 0 & 0 & - & 0 & 0 & 0 & 0 \\ (4+ | 2+, 4+) & 0 & 0 & 0 & 0 & 0 & - & \\ (4- | T_{2,4}) & 0 & 0 & 0 & 0 & - & 0 & \end{array} \quad (24d) \end{aligned}$$

Безразмерные недиагональные константы взаимодействия вычисляем по той же схеме, что и диагональные:

$$\lambda_{1,2} = \lambda_{2,1} = \frac{1}{b^2} \sum_{\alpha,\beta} b_\alpha^2 S_{\alpha,\beta}^{(1,2)} b_\beta^2 = -\frac{7}{18}, \quad (25)$$

где использованы спиновые коэффициенты векторного сложения

$$b_1 = -b_3 = b_5 = 1, \quad b_2 = -b_4 = b_6 = \frac{1}{\sqrt{2}}.$$

Вычисление остальных двенадцати недиагональных матриц, соответствующих аномальным средним  $\langle \hat{a}_{k\uparrow} \hat{a}_{n\downarrow} \rangle$  при  $k \neq n$ , приводит к тем же результатам.

Концевой множитель  $f$  есть линейная функция электронной концентрации  $n_q$ :  $f = a + bn_q$ , где коэффициенты  $a$  и  $b$  подбираются таким образом, чтобы для целых значений  $n_q$  величина  $f$  была равной обратной кратности вырождения.

В нашем случае, когда  $1 < n_q < 2$ , согласно этому определению имеем

$$f = \frac{n_q - 1}{18} + \frac{2 - n_q}{8} = \frac{14 - 5n_q}{72}. \quad (26)$$

Уравнение состояния, записанное для интервала  $1 < n_q < 2$ , имеет следующий вид:

$$\begin{aligned} n_q &= 1 + 18f \sum_p n_F(\xi_p), \quad \xi_p = fb^2 t_p - \mu, \\ b^2 &= \sum_k b_k^2. \end{aligned} \quad (27)$$

В точке перехода, где обращается в нуль химический потенциал  $\mu$ , величина обратного значения концевого множителя равна среднеарифметической кратности вырождения между крайними точками выделенного интервала изменения концентрации электронов:  $(f_c)^{-1} = 13$ .

## 5.2. Сверхпроводимость в области $2 < n_q < 3$

В случае  $2 < n_q < 3$  необходимо рассмотреть переходы между двухчастичными состояниями со спином 1 и трехчастичными состояниями со спином  $3/2$ .

Шесть низших двухчастичных высокоспиновых состояний имеют спин  $S = 1$ :

$$\begin{aligned} \hat{a}_{k\sigma}^\dagger \hat{a}_{n\sigma}^\dagger |0\rangle & \quad (S^z = \pm\sigma), \\ \frac{1}{\sqrt{2}} (\hat{a}_{k\uparrow}^\dagger \hat{b}_{n\downarrow}^\dagger + \hat{a}_{k\downarrow}^\dagger \hat{b}_{n\uparrow}^\dagger) |0\rangle & \quad (S^z = 0), \end{aligned} \quad (28)$$

где кристаллические индексы  $k$  и  $n$  пробегают четыре значения таким образом, чтобы выполнялось условие  $k > n$ . Эти состояния резонируют с шестнадцатью трехчастичными состояниями с полным спином  $3/2$  ( $k > n > m$ ):

$$\hat{a}_{k\sigma}^\dagger \hat{a}_{n\sigma}^\dagger \hat{a}_{m\sigma}^\dagger |0\rangle \quad \left( S^z = \frac{3}{2}\sigma \right), \quad (29a)$$

$$\begin{aligned} \frac{1}{\sqrt{3}} (\hat{a}_{k\uparrow}^\dagger \hat{a}_{n\uparrow}^\dagger \hat{a}_{m\downarrow}^\dagger + \hat{a}_{k\uparrow}^\dagger \hat{a}_{n\downarrow}^\dagger \hat{a}_{m\uparrow}^\dagger + \hat{a}_{k\downarrow}^\dagger \hat{a}_{n\uparrow}^\dagger \hat{a}_{m\uparrow}^\dagger) |0\rangle \\ \left( S^z = \frac{1}{2} \right), \end{aligned} \quad (29b)$$

$$\begin{aligned} \frac{1}{\sqrt{3}} (\hat{a}_{k\downarrow}^\dagger \hat{a}_{n\downarrow}^\dagger \hat{a}_{m\uparrow}^\dagger + \hat{a}_{k\downarrow}^\dagger \hat{a}_{n\uparrow}^\dagger \hat{a}_{m\downarrow}^\dagger + \hat{a}_{k\uparrow}^\dagger \hat{a}_{n\downarrow}^\dagger \hat{a}_{m\downarrow}^\dagger) |0\rangle \\ \left( S^z = -\frac{1}{2} \right). \end{aligned} \quad (29c)$$

Для построения аномальной собственно-энергетической части каждому переходу необходимо поставить в соответствие обратный переход со всеми измененными знаками проекций спинов. Принцип построения матрицы аномальной собственно-энергетической части определяется в соответствии с перестановочными соотношениями (12) и (13) и фактически

определяется по тем же правилам, что и в предыдущем разделе.

Сначала рассмотрим матрицу, диагональную по

$$\hat{S}_{\alpha,\beta}^{(1,1)} = \begin{array}{c|ccc} 1 \uparrow 1 \downarrow - & (1, 2, 3 | 2, 3) & (2, 4 | 1, 2, 4 | 2, 4) & (1, 3, 4 | 3, 4) \\ \hline (2, 3 | 1, 2, 3) & \hat{W}_3 & 0 & 0 \\ (2, 4 | 1, 2, 4) & 0 & \hat{W}_3 & \\ (3, 4 | 1, 3, 4) & 0 & 0 & \hat{W}_3 \end{array}. \quad (30)$$

Здесь на диагонали расположены три одинаковых

матрицы  $\hat{W}_3$ :

$$\hat{W}_3 = \begin{array}{c|ccc} 1 \uparrow 1 \downarrow - & \left( -\frac{3}{2}(1, 2, 3) | -1 \right) & \left( -\frac{1}{2}(1, 2, 3) | 0 \right) & \left( \frac{1}{2}(1, 2, 3) | 1 \right) \\ \hline \left( 1(2, 3) | \frac{3}{2}(1, 2, 3) \right) & 0 & 0 & - \\ \left( 0(2, 3) | \frac{1}{2}(1, 2, 3) \right) & 0 & - & + \\ \left( -1(2, 3) | -\frac{1}{2}(1, 2, 3) \right) & - & + & 0 \end{array}. \quad (31)$$

Матрица  $S^{(1,1)}$ , записанная с помощью (30) и (31), позволяет вычислить безразмерную константу  $\lambda$ :

$$\lambda = \frac{1}{b^2} \sum_{\alpha, \beta} b_{\alpha}^2 b_{\beta}^2 S_{\alpha, \beta} = -\frac{1}{3}, \quad b^2 = \sum_{\alpha} b_{\alpha}^2, \quad (32)$$

где использованы спиновые коэффициенты векторного сложения:

$$\begin{aligned} b_1 = -b_5 = b_9 = 1, \quad b_2 = -b_6 = b_{10} = \frac{\sqrt{2}}{\sqrt{3}}, \\ b_3 = -b_{11} = b_{15} = \frac{1}{\sqrt{3}}. \end{aligned} \quad (33)$$

Вычисление остальных четырех матриц, диагональных по кристаллическому индексу, приводит к тем же результатам (30), (31).

Концевой множитель  $f$  есть линейная функция электронной концентрации  $n_q$ :  $f = a + bn_q$ , где коэффициенты  $a$  и  $b$  подбираются таким образом, чтобы для целых значений  $n_q$  величина  $f$  была равной обратной кратности вырождения.

кристаллическим индексам. Записанная только через номера одночастичных состояний, она имеет блочный вид:

В нашем случае, когда  $2 < n_q < 3$ , согласно этому определению имеем

$$f = \frac{n_q - 2}{16} + \frac{3 - n_q}{18} = \frac{n_q + 6}{144}. \quad (34)$$

Как следует из уравнения состояния, записанного для интервала  $2 < n_q < 3$ ,

$$\begin{aligned} n_q &= 2 + 16f \sum_{\mathbf{p}} n_F(\xi_{\mathbf{p}}), \quad \xi_{\mathbf{p}} = fb^2 t_{\mathbf{p}} - \mu, \\ b^2 &= \sum_{\alpha} b_{\alpha}^2. \end{aligned} \quad (35)$$

В точке перехода, где обращается в нуль химический потенциал  $\mu$ , величина обратного значения концевого множителя  $(f_c)^{-1}$ , равна среднеарифметической кратности вырождения между крайними точками выделенного интервала изменения концентрации электронов:  $(f_c)^{-1} = 17$ .

Точно таким же способом могут быть построены вершинные части, соответствующие аномальным гриновским функциям, которые недиагональны по кристаллическим индексам.

Рассмотрим, например, таблицу, отвечающую матрицам  $\langle \hat{a}_{2\uparrow} \hat{a}_{1\downarrow} \rangle$ :

$$\hat{S}_{\alpha,\beta}^{(2,1)} = \begin{array}{c|ccc} 2 \uparrow 1 \downarrow - & (1, 2, 3 | 2, 3) & (1, 2, 4 | 2, 4) & (1, 3, 4 | 3, 4) \\ \hline (1, 3 | 1, 2, 3) & \hat{V} & 0 & 0 \\ (1, 4 | 1, 2, 4) & 0 & \hat{V} & 0 \\ (3, 4 | 2, 3, 4) & 0 & 0 & \hat{U} \end{array}. \quad (36)$$

Здесь на диагонали расположены две одинаковые матрицы  $\hat{V}$ ,

$$\hat{V} = \begin{array}{c|ccc} 1\uparrow 1\downarrow - & \left(-\frac{3}{2}| -1\right) & \left(-\frac{1}{2}| 0\right) & \left(\frac{1}{2}| 1\right) \\ \hline \left(1|\frac{3}{2}\right) & 0 & 0 & 0 \\ \left(0|\frac{1}{2}\right) & 0 & 0 & + \\ \left(-1|-\frac{1}{2}\right) & 0 & + & 0 \end{array}. \quad (37)$$

На диагонали также имеется матрица  $\hat{U}$ :

$$\hat{U} = \begin{array}{c|ccc} 1\uparrow 1\downarrow - & \left(-\frac{3}{2}(1,3,4)| -1(3,4)\right) & \left(-\frac{1}{2}(1,3,4)| 0(3,4)\right) & \left(\frac{1}{2}(1,3,4)| -1(3,4)\right) \\ \hline \left(1(3,4)|\frac{3}{2}(2,3,4)\right) & 0 & 0 & - \\ \left(0(3,4)|\frac{1}{2}(2,3,4)\right) & 0 & - & 0 \\ \left(-1(3,4)|-\frac{1}{2}(2,3,4)\right) & - & 0 & 0 \end{array}. \quad (38)$$

Здесь попарно совпадают двухэлектронные состояния  $S^z(3,4)$ , что соответствует появлению «притягательных» вершинных частей (со знаком «минус»).

Существует также группа переходов, когда к двухэлектронным состояниям с номерами 2, 3 добавляется электронное состояние с номером 4. Для этой группы переходов получим следующую таблицу:

$$\begin{array}{c|ccc} 4\uparrow 1\downarrow - & \left(-\frac{3}{2}| -1\right) & \left(-\frac{1}{2}| 0\right) & \left(\frac{1}{2}| 1\right) \\ \hline \left(1(2,3)|\frac{3}{2}(2,3,4)\right) & 0 & 0 & - \\ \left(0(2,3)|\frac{1}{2}(2,3,4)\right) & 0 & - & 0 \\ \left(-1(2,3)|-\frac{1}{2}(2,3,4)\right) & - & 0 & 0 \end{array}. \quad (39)$$

Безразмерные недиагональные константы взаимодействия вычисляем по той же схеме, что и диагональные:

$$\lambda_{2,1} = \lambda_{1,2} = \frac{1}{b^2} \sum_{\alpha,\beta} b_\alpha^2 b_\beta^2 S_{\alpha,\beta}^{(2,1)} = -\frac{1}{27}. \quad (40)$$

Здесь использованы коэффициенты векторного сложения (33).

### 5.3. Сверхпроводимость в области $3 < n_q < 4$

Для построения аномальной собственno-энргетической части каждому переходу необходимо по-

ставить в соответствие обратный переход со всеми измененными знаками проекций спинов. Принцип построения матрицы аномальной собственno-энргетической части определяется знаками отличных от нуля вершинных частей, изображенных на рис. 2а:

$$\hat{S}_{\alpha,\beta}^{1,1} = \frac{1\uparrow 1\downarrow -}{(2,3,4|1,2,3,4)} \left| \frac{(1,2,3,4|2,3,4)}{\hat{W}_4} \right. \quad (41)$$

Таким образом, матрица  $\hat{S}^{1,1}$  совпадает с матрицей  $\hat{W}_4$ :

$1 \uparrow 1 \downarrow -\rangle$	$\left(-2\left -\frac{3}{2}\right.\right)$	$\left(-1\left -\frac{1}{2}\right.\right)$	$\left(0\left \frac{1}{2}\right.\right)$	$\left(1\left \frac{3}{2}\right.\right)$
$\left(\frac{3}{2}\left 2\right.\right)$	0	0	0	-
$\left(\frac{1}{2}\left 1\right.\right)$	0	0	-	+
$\left(-\frac{1}{2}\left 0\right.\right)$	0	-	+	0
$\left(-\frac{3}{2}\left -1\right.\right)$	-	+	0	0

(42)

Определение знаков осуществляется по тем же правилам, что и в двух предыдущих разделах

Остальные четыре матрицы  $\langle \hat{a}_{k\uparrow} \hat{a}_{n\downarrow} \rangle$ , диагональные по нижним кристаллическим индексам, имеют аналогичный вид.

Далее находим безразмерную константу  $\lambda$ :

$$\lambda = \frac{1}{b^2} \sum_{\alpha, \beta} b_\alpha^2 b_\beta^2 S_{\alpha, \beta} = -\frac{1}{4}, \quad b^2 = \sum_{\alpha} b_\alpha^2. \quad (43)$$

Эффективная константа определяется через нормированные коэффициенты векторного сложения

$$b_1 = 1, \quad b_2 = \frac{\sqrt{3}}{2}, \quad b_3 = \frac{\sqrt{2}}{2}, \quad b_4 = \frac{1}{2}. \quad (44)$$

Концевой множитель  $f$  есть линейная функция электронной концентрации  $n_q$ :  $f = a + bn_q$ , где коэффициенты  $a$  и  $b$  подбираются таким образом, чтобы для целых значений  $n_q$  величина  $f$  была равна обратной кратности вырождения.

В нашем случае, когда  $3 < n_q < 4$ , согласно этому определению,

$$f = \frac{n_q - 3}{5} + \frac{4 - n_q}{16} = \frac{11n_q - 28}{80}. \quad (45)$$

Как следует из уравнения состояния, записанного для интервала  $3 < n_q < 4$ ,

$$n_q = 3 + 5f_p \sum_{\mathbf{p}} n_F(\xi_{\mathbf{p}}), \quad \xi_{\mathbf{p}} = fb^2 t_{\mathbf{p}} - \mu, \\ b^2 = \sum_{\alpha} b_{\alpha}^2. \quad (46)$$

В точке перехода, где обращается в нуль химический потенциал  $\mu$ , величина обратного значения концевого множителя равна среднеарифметической кратности вырождения между крайними точками выделенного интервала изменения концентрации электронов:  $(f_c)^{-1} = 21/2$ . Вычисление остальных четырех матриц, диагональных по кристаллическому индексу, приводит к тем же результатам (42), (44).

Определим вершинные части, соответствующие недиагональным гриновским функциям. Рассмотрим, например, таблицу, отвечающую матрицам  $\langle \hat{a}_{1\uparrow} \hat{a}_{2\downarrow} \rangle$ :

$$\hat{S}_{\alpha, \beta}^{1, 2} = \frac{1 \uparrow 2 \downarrow -\rangle}{(2, 3, 4 | 1, 2, 3, 4)} \left| \begin{array}{c} (1, 2, 3, 4 | 1, 3, 4) \\ \hat{V} \end{array} \right. \quad (47)$$

В этой матрице наблюдаются совпадения только для четырехчастичных состояний  $S^z(1, 2, 3, 4)$ , что соответствует появлению отталкивательных вершинных частей (со знаком «плюс»). Таким образом, имеем матрицу  $\hat{V}$ ,

$1 \uparrow 2 \downarrow -\rangle$	$\left(-2\left -\frac{3}{2}\right.\right)$	$\left(-1\left -\frac{1}{2}\right.\right)$	$\left(0\left \frac{1}{2}\right.\right)$	$\left(1\left \frac{3}{2}\right.\right)$
$\hat{V} = \left(\frac{3}{2}\left 2\right.\right)$	0	0	0	0
$\left(\frac{1}{2}\left 1\right.\right)$	0	0	0	+
$\left(-\frac{1}{2}\left 0\right.\right)$	0	0	+	0
$\left(-\frac{3}{2}\left -1\right.\right)$	0	+	0	0

(48)

Таблица 1

$\downarrow \rightarrow$	$1 < n_q < 2$	$2 < n_q < 3$	$3 < n_q < 4$
$f$	$(14 - 5n_q)/72$	$(n_q + 6)/144$	$(11n_q - 28)/80$
$\tilde{b}^2$	$3/2$	$2$	$5/2$
$\lambda_{i=k} (= \lambda)$	$-1/2$	$-1/3$	$-1/4$
$\lambda_{i \neq k}$	$-7/18$	$-1/27$	$1/4$
$f_c^{-1}$	$13$	$17$	$21/2$
$ \lambda /\tilde{b}^2 f_c$	$13/3$	$17/6$	$21/10$
Область	$22/13 < n_q < 2$	$42/17 < n_q < 3$	$68/21 < n_q < 4$

Безразмерные недиагональные константы взаимодействия вычисляем по той же схеме, что и диагональные:

$$\lambda_{1,2} = \lambda_{2,1} = \frac{1}{b^2} \sum_{\alpha, \beta} b_\alpha^2 b_\beta^2 S_{\alpha, \beta}^{(1,2)} = \frac{1}{4}, \quad (49)$$

где использованы спиновые коэффициенты векторного сложения (44).

Заметим, что, в отличие от двух других случаев, полученная вершинная часть  $\lambda_{i \neq k}$  оказалась положительной.

Вычисление остальных недиагональных матриц, соответствующих аномальным средним  $\langle \hat{a}_{k\uparrow} \hat{a}_{n\downarrow} \rangle$  при  $k \neq n$ , приводит к тем же результатам (47) и (48).

#### 5.4. Список результатов для всей области

$$1 < n_q < 4$$

Все результаты, касающиеся сверхпроводимости  $n_q$ -электронов, сведены в табл. 1.

$$S^{(1,1)}(\alpha, \beta) = \begin{array}{c|cccc} 1 \uparrow 1 \downarrow - \rangle & (1-, 2- | 2-) & (T_{1,2} | 2+) & (1-, 3- | 3-) & (T_{1,3} | 3+) \\ \hline (2+ | 1+, 2+) & 0 & - & 0 & 0 \\ (2- | T_{1,2}) & - & + & 0 & 0 \\ (3+ | 1+, 3+) & 0 & 0 & 0 & - \\ (3- | T_{1,3}) & 0 & 0 & - & + \end{array} . \quad (50)$$

Эта матрица имеет блочный вид. Две матрицы  $Q_n$  не отличаются друг от друга,  $\hat{Q}_n = \hat{W}_2$ , где матрица  $\hat{W}_2$  определена в (22б).

Остальные три матрицы  $\langle \hat{a}_{k\uparrow} \hat{a}_{n\downarrow} \rangle$  при  $k = n$ , диагональные по нижним кристаллическим индексам, имеют аналогичный вид.

С помощью полученной матрицы  $S^{(1,1)}$  вычисляем безразмерную константу  $\lambda$ :

В табл. 1 величины  $\tilde{b}^2$  определены как суммы неповторяющихся квадратов спиновых коэффициентов векторного сложения. В предпоследней строке собраны безразмерные коэффициенты, входящие в определение константы БКШ. В последней строке определены интервалы существования сверхпроводимости, вычисленные для симметричной энергетической плотности электронных состояний.

### 6. СВЕРХПРОВОДИМОСТЬ ВЫСОКОСПИНОВЫХ СОСТОЯНИЙ (ДВУМЕРНЫЙ СЛУЧАЙ $sp^2$ )

Вычисления безразмерных констант для случая перекрытия электронных  $2s$ - и  $2p_{x,y}$ -оболочек, когда мы имеем дело с шестиэлектронными системами, происходят по той же схеме, что и для восьмиэлектронной системы.

#### 6.1. Сверхпроводимость в области $1 < n_t < 2$

Для построения аномальной собственно-энергетической части каждому переходу необходимо поставить в соответствие обратный переход со всеми измененными знаками проекций спинов. Принцип построения матрицы аномальной собственно-энергетической части определяется знаками отличных от нуля вершинных частей, изображенных на рис. 2а:

$$\lambda = \frac{1}{b^2} \sum_{k,p} b_k^2 b_p^2 S_{k,p} = -\frac{1}{2}, \quad b^2 = \sum_{k=1,2} b_k^2. \quad (51)$$

По причине равенства матриц  $\hat{Q}_1$  и  $\hat{Q}_2$  здесь суммирование проводится только по двум первым индексам и используются только два разных коэффициента векторного сложения:  $b_1 = 1$ ,  $b_2 = 1/\sqrt{2}$ .

Таким образом, мы получили тот же результат, что и для  $n_q$ -электронов.

Концевой множитель  $f$  есть линейная функция электронной концентрации  $n_t$ :  $f = a + bn_t$ , где коэффициенты  $a$  и  $b$  подбираются таким образом, чтобы для целых значений  $n_t$  величина  $f$  была равна обратной кратности вырождения.

В нашем случае, когда  $1 < n_t < 2$ , согласно этому определению,

$$f_t = \frac{n_t - 1}{9} + \frac{2 - n_t}{6} = \frac{4 - n_t}{18}. \quad (52)$$

Как следует из уравнения состояния, записанного для интервала  $1 < n_q < 2$ ,

$$\begin{aligned} n_t &= 1 + 9f_t \sum_{\mathbf{p}} n_F(\xi_{\mathbf{p}}), \quad \xi_{\mathbf{p}} = fb^2 t_{\mathbf{p}} - \mu, \\ b^2 &= \sum_{\alpha} b_{\alpha}^2. \end{aligned} \quad (53)$$

В точке перехода, где обращается в нуль химический потенциал  $\mu$ , величина обратного значения концевого множителя равна среднеарифметической кратности вырождения между крайними точками выделенного интервала изменения концентрации электронов:  $(f_c)^{-1} = 15/2$ .

Точно таким же способом могут быть построены вершинные части, соответствующие аномальным средним, которые недиагональны по кристаллическим индексам.

Для определенности рассмотрим матрицу  $\langle \hat{a}_{1\uparrow} \hat{a}_{2\downarrow} \rangle$ :

$$S_{\alpha,\beta}^{1,2} = \begin{array}{c|ccccc} 1 \uparrow 2 \downarrow - & (1-, 2- | 1-) & (T_{1,2}|1+) & (2-, 3- | 3-) & (T_{2,3}|3+) \\ \hline (2+ | 1+, 2+) & 0 & 0 & 0 & 0 \\ (2- | T_{1,2}) & 0 & + & 0 & 0 \\ (3+ | 1+, 3+) & 0 & 0 & 0 & - \\ (3- | T_{1,3}) & 0 & 0 & - & 0 \end{array}. \quad (54)$$

Вычисление остальных шести недиагональных матриц, соответствующих аномальным средним  $\langle \hat{a}_{k\uparrow} \hat{a}_{n\downarrow} \rangle$  при  $k \neq n$ , приводит к тем же результатам.

Безразмерные недиагональные константы взаимодействия вычисляем по той же схеме, что и диагональные:

$$\begin{aligned} \lambda_{1,2} = \lambda_{2,1} &= \frac{1}{b^2} \sum_{\alpha, \beta} b_{\alpha}^2 S_{\alpha, \beta}^{(1,2)} b_{\beta}^2 = -\frac{1}{4}, \\ b^2 &= \sum_{\alpha} b_{\alpha}^2. \end{aligned} \quad (55)$$

Здесь суммирование проводится по четырем возможным переходам и используются четыре коэффициента векторного сложения:

$$b_1 = -b_3 = 1, \quad b_2 = -b_4 = \frac{1}{\sqrt{2}}. \quad (56)$$

## 6.2. Сверхпроводимость в области $2 < n_t < 3$

В случае  $2 < n_t < 3$  необходимо рассмотреть переходы между двухчастичными состояниями со спином 1 и трехчастичными состояниями со спином 3/2.

В случае сильной кубической анизотропии шесть

нижних двухчастичных высокоспиновых состояний имеют спин  $S = 1$ :

$$\begin{aligned} \hat{a}_{k\sigma}^{\dagger} \hat{a}_{n\sigma}^{\dagger} |0\rangle & \quad (S^z = \pm\sigma), \\ \frac{1}{\sqrt{2}} \left( \hat{a}_{k\uparrow}^{\dagger} \hat{b}_{n\downarrow}^{\dagger} + \hat{a}_{k\downarrow}^{\dagger} \hat{b}_{n\uparrow}^{\dagger} \right) |0\rangle & \quad (S^z = 0), \end{aligned} \quad (57)$$

где кристаллические индексы  $k$  и  $n$  пробегают четыре значения таким образом, чтобы выполнялось условие  $k > n$ . Эти состояния резонируют с четырьмя трехчастичными состояниями с полным спином 3/2 ( $k > n > m$ ):

$$\hat{a}_{k\sigma}^{\dagger} \hat{a}_{n\sigma}^{\dagger} \hat{a}_{m\sigma}^{\dagger} |0\rangle, \quad \left( S^z = \frac{3}{2}\sigma \right), \quad (58a)$$

$$\begin{aligned} \frac{1}{\sqrt{3}} \left( \hat{a}_{k\uparrow}^{\dagger} \hat{a}_{n\uparrow}^{\dagger} \hat{a}_{m\downarrow}^{\dagger} + \hat{a}_{k\uparrow}^{\dagger} \hat{a}_{n\downarrow}^{\dagger} \hat{a}_{m\uparrow}^{\dagger} + \hat{a}_{k\downarrow}^{\dagger} \hat{a}_{n\uparrow}^{\dagger} \hat{a}_{m\uparrow}^{\dagger} \right) |0\rangle \\ \left( S^z = \frac{1}{2} \right), \end{aligned} \quad (58b)$$

$$\begin{aligned} \frac{1}{\sqrt{3}} \left( \hat{a}_{k\downarrow}^{\dagger} \hat{a}_{n\downarrow}^{\dagger} \hat{a}_{m\uparrow}^{\dagger} + \hat{a}_{k\downarrow}^{\dagger} \hat{a}_{n\uparrow}^{\dagger} \hat{a}_{m\downarrow}^{\dagger} + \hat{a}_{k\uparrow}^{\dagger} \hat{a}_{n\downarrow}^{\dagger} \hat{a}_{m\downarrow}^{\dagger} \right) |0\rangle \\ \left( S^z = -\frac{1}{2} \right). \end{aligned} \quad (58c)$$

Для построения аномальной собственно-энергетической части каждому переходу необходимо поставить в соответствие обратный переход со всеми

измененными знаками проекций спинов. Затем используем общие правила нахождения отличных от нуля матричных элементов. В результате находим

$$\hat{S}_{\alpha,\beta}^{1,1} = \begin{array}{c|ccc} 1 \uparrow 1 \downarrow - & \left( -\frac{3}{2}(1,2,3)|-1 \right) & \left( -\frac{1}{2}(1,2,3)|0 \right) & \left( \frac{1}{2}(1,2,3)|1 \right) \\ \hline \left( 1(2,3)|\frac{3}{2}(1,2,3) \right) & 0 & 0 & - \\ \left( 0(2,3)|\frac{1}{2}(1,2,3) \right) & 0 & - & + \\ \left( -1(2,3)|-\frac{1}{2}(1,2,3) \right) & - & + & 0 \end{array}. \quad (59)$$

Все ненулевые матричные элементы находим по общим правилам.

Далее вычисляем безразмерную константу  $\lambda$ :

$$\lambda = \frac{1}{b^2} \sum_{\alpha,\beta} b_{\alpha}^2 b_{\beta}^2 S_{\alpha,\beta} = -\frac{1}{3}, \quad b^2 = \sum_{\alpha} b_{\alpha}^2, \quad (60)$$

где использованы спиновые коэффициенты векторного сложения

$$b_1 = 1, \quad b_2 = \frac{\sqrt{2}}{\sqrt{3}}, \quad b_3 = \frac{1}{\sqrt{3}}. \quad (61)$$

Вычисление трех остальных матриц, диагональных по кристаллическому индексу, приводит к тем же результатам (59), (60).

Концевой множитель  $f$  есть линейная функция электронной концентрации  $n_t$ :  $f = a + bn_t$ , где коэффициенты  $a$  и  $b$  подбираются таким образом, чтобы для целых значений  $n_t$  величина  $f$  была равна обратной кратности вырождения.

В нашем случае, когда  $2 < n_t < 3$ , согласно этому определению

$$f = \frac{n_t - 2}{4} + \frac{3 - n_t}{9} = \frac{5n_t - 6}{36}.$$

Как следует из уравнения состояния, записанного для интервала  $2 < n_t < 3$ :

$$\begin{aligned} n_t &= 2 + 4f \sum_{\mathbf{p}} n_F(\xi_{\mathbf{p}}), \quad \xi_{\mathbf{p}} = fb^2 t_{\mathbf{p}} - \mu, \\ b^2 &= \sum_{\alpha} b_{\alpha}^2. \end{aligned} \quad (62)$$

В точке перехода, где обращается в нуль химический потенциал  $\mu$ , величина обратного значения концевого множителя  $(f_c)^{-1}$  равна среднеарифметической кратности вырождения между крайними точками выделенного интервала изменения концентрации электронов:  $(f_c)^{-1} = 13/2$ .

Точно таким же способом могут быть построены вершинные части, соответствующие аномальным

матрицу, диагональную по кристаллическим индексам:

гриновским функциям, которые недиагональны по кристаллическим индексам.

Рассмотрим, например, таблицу, отвечающую матрицам  $\langle \hat{a}_2 \uparrow \hat{a}_1 \downarrow \rangle$ :

$$\hat{S}_{\alpha,\beta}^{(1,2)} = \begin{array}{c|c} 1 \uparrow 1 \downarrow - & (1,2,3|2,3) \\ \hline (1,3|1,2,3) & \hat{V} \end{array}. \quad (63)$$

В этой матрице наблюдаются совпадения только для трехчастичных состояний  $S^z(1,2,3)$ , что соответствует появлению отталкивательных вершинных частей (со знаком «плюс»). Таким образом, имеем матрицу  $\hat{V}$ ,

$$\hat{V} = \begin{pmatrix} 0 & 0 & 0 \\ 0 & 0 & 1 \\ 0 & 1 & 0 \end{pmatrix}. \quad (64)$$

Безразмерные недиагональные константы взаимодействия вычисляем по той же схеме, что и диагональные:

$$\lambda_{1,2} = \lambda_{2,1} = \frac{1}{b^2} \sum_{\alpha,\beta} b_{\alpha}^2 b_{\beta}^2 S_{\alpha,\beta}^{(1,2)} = \frac{2}{9}. \quad (65)$$

Заметим, что, как и для области  $3 < n_q < 4$ , полученная вершинная часть  $\lambda_{i \neq k}$  оказалась положительной.

Вычисление остальных недиагональных матриц, соответствующих аномальным средним  $\langle \hat{a}_k \uparrow \hat{a}_{n \downarrow} \rangle$  при  $k \neq n$ , приводит к тем же результатам (64) и (65).

### 6.3. Список результатов для всей области $1 < n_t < 3$

Все результаты, обсужденные в разд. 6, приведены в табл. 2.

Таблица 2

$\downarrow \rightarrow$	$1 < n_t < 2$	$2 < n_t < 3$
$f$	$(4 - n_t)/18$	$(5n_t - 6)/36$
$\tilde{b}^2$	$3/2$	$2$
$\lambda_{i=k} (= \lambda)$	$-1/2$	$-1/3$
$\lambda_{i \neq k}$	$-1/4$	$2/9$
$f_c^{-1}$	$15/2$	$13/2$
$ \lambda /\tilde{b}^2 f_c$	$5/2$	$13/2$
Область	$8/5 < n_t < 2$	$30/13 < n_t < 3$

## 7. ОСНОВНЫЕ РЕЗУЛЬТАТЫ И ЗАКЛЮЧИТЕЛЬНЫЕ ЗАМЕЧАНИЯ

Уравнения сверхпроводимости (14)–(16) вместе с численными величинами, которые собраны в табл. 1, 2, становятся вполне определенной системой уравнений при заданных параметрах, определяющих свойства нормального металла: размерах кристаллической решетки, значениях интегралов перескока и относительных значениях величин энергии  $2s$ - и  $2p$ -состояний. Основные результаты настоящей работы основаны на предположении о том, что энергия электрон-электронного взаимодействия, отнесенного к одной и той же ячейке, является наибольшим энергетическим параметром и считается бесконечной. Основной качественный результат состоит в том, что, начиная с некоторого конечного значения, сверхпроводимость должна существовать внутри каждого целочисленного интервала концентраций.

Полученные уравнения можно использовать для сравнения с экспериментальными данными на металлических соединениях на основе графита (GICs — graphite intercalation compounds) [12]. Соединения с весьма малым перенесенным зарядом, такие как  $\text{Li}^+ \text{C}_8^{-1/8}$ , не являются сверхпроводниками. Соединения типа  $\text{Na}^+ \text{C}_2^{-1/2}$  с половинным переносом заряда имеют  $T_c$  порядка нескольких градусов, в то время как соединение  $\text{Ca}^{2+} \text{C}_6^{-1/3}$  имеет  $T_c = 11.5\text{K}$ .

Существуют также сверхпроводящие кремниевые соединения  $(\text{Na}, \text{Ba})_x \text{Si}_{46}$  [13],  $\text{Si}_2\text{H}_6$  [14], которые следовало бы рассмотреть с учетом сильных электрон-электронных корреляций.

Эти примеры, вместе с оценкой (1), указывают на возможность применения предлагаемой теории.

Работа выполнена при финансовой поддержке в рамках государственного задания № 2.1947.2011 по теме НИР Г306.

## ЛИТЕРАТУРА

- Л. Д. Ландау, Е. М. Лифшиц, *Квантовая механика. Нерелятивистская теория*, § 69, Физматлит, Москва (2002).
- R. G. Parr, D. P. Crag, and I. G. Ross, J. Chem. Phys. **18**, 1561 (1950).
- Z. Vardeny and J. Tauc, Phys. Rev. Lett. **54**, 1844 (1985).
- T. O. Wehling, E. Şaşoğlu, C. Fridrich et al., Phys. Rev. Lett. **106**, 236805 (2011).
- А. А. Левин, *Введение в квантовую химию твердого тела*, «Химия», Москва (1974). A. A. Levin *Solid State Quantum Chemistry*, Mc Graw-Hill, New York (1977).
- R. O. Zaitsev, Phys. Lett. A **134**, 199 (1988).
- Р. О. Зайцев, Письма в ЖЭТФ **94**, 224 (2011).
- Р. О. Зайцев, Письма в ЖЭТФ **95**, 422 (2012).
- Л. П. Горьков, ЖЭТФ **34**, 735 (1958).
- Р. О. Зайцев, ЖЭТФ **140**, 984 (2011).
- Г. Гельман, *Квантовая химия*, НТИ НКТП, Москва–Ленинград (1937).
- M. Sütherland, N. Doiron-Leyraud, L. Taillefer et al., Phys. Rev. Lett. **98**, 067003 (2007).
- H. Kawaji, H. Horie, S. Yamanaka et al., Phys. Rev. Lett. **74**, 1427 (1995).
- J. A. Flores-Livas, M. Amsler, T. J. Lenovský et al., Phys. Rev. Lett. **108**, 117004 (2012).